

## تحلیل فراوانی سیلاب منطقه‌ای با استفاده از تئوری گشتاورهای خطی و سیلاب نمایه در حوضه‌های آبریز استان‌های خراسان

حمیرا شامکوئیان<sup>۱</sup> - بیژن قهرمان<sup>۲\*</sup> - کامران داوری<sup>۳</sup> - مجید سرمهد<sup>۴</sup>

تاریخ دریافت: ۸۷/۱/۲۷

تاریخ پذیرش: ۸۷/۸/۲۰

### چکیده

روش تحلیل فراوانی سیلاب منطقه‌ای یکی از روش‌های متدالوی تحلیل فراوانی سیلاب بوده که به جای استفاده از آمار یک ایستگاه، آمار و ویژگی‌های مجموعه‌ای از ایستگاه‌های هم‌رفتار مورد استفاده قرار می‌گیرد. در مطالعه حاضر این روش با استفاده از گشتاورهای خطی و سیلاب نمایه در حوضه‌های آبریز استان‌های خراسان (شمالی، رضوی و جنوبی) و به کمک نرم‌افزار MATLAB مورد استفاده قرار گرفت. از آمار دبی سیلاب اوج لحظه‌ای سالانه ۶۸ ایستگاه آب‌سنجدی با حداقل و حدکثر طول دوره آماری ۶ و ۳۹ سال و ویژگی‌های فیزیوگرافی حوضه‌های آبریز آن‌ها استفاده شد. با استفاده از روش تحلیل خوش‌های، منطقه مورد مطالعه به ۷ ناحیه همگن تقسیم شد. در این نواحی بترتیب ۱۶، ۵، ۲۰، ۵، ۱۱ و ایستگاه قرار گرفت. به کمک آزمون ناهمنواهی بر اساس گشتاورهای خطی، تنها یک ایستگاه به عنوان ایستگاه تشخیص داده شد. آزمون ناهمگنی بر اساس گشتاورهای خطی، تمامی نواحی را همگن تشخیص داد. توابع توزیع لوگ نرمال سه پارامتری در دو ناحیه A و B، مقادیر حدی تعیین یافته در ناحیه C، پارتو تعیین یافته در دو ناحیه D و E. لوجستیک تعیین یافته در ناحیه F و نهایتاً پیرسون نوع ۳ در ناحیه G با استفاده از آزمون نیکوئی برازش Z و کلموگروف-اسمیرنوف انتخاب شدند. با این وجود در آزمون نیکوئی برازش Z تمامی توابع توزیع در دامنه مجاز واقع شدند. ولیکن انتخاب نهایی توابع براساس آزمون نیکوئی برازش کلموگروف-اسمیرنوف صورت گرفت تا بدینوسیله برازش توابع در دوره بازگشت های بالا ملاک انتخاب قرار گیرد. علاوه بر توابع توزیع برتر، تابع توزیع مقادیر حدی تعیین یافته برای تمامی نواحی همگن مناسب تشخیص داده شد، به طوریکه تنها عوامل این تابع در نواحی مختلف متفاوت است. مدلی لگاریتمی و چهار متنغيره به منظور برآورد سیلاب نمایه در هر نقطه از نواحی همگن، و مقیاس‌دار کردن مقادیر سیلاب بی بعد ناحیه‌ای با استفاده از ویژگی‌های فیزیوگرافی حوضه‌ها استخراج شد.

**واژه‌های کلیدی:** تحلیل منطقه‌ای سیلاب، گشتاورهای خطی، سیلاب نمایه، تحلیل خوش‌های، خراسان

### مقدمه

تحلیل سیلاب صورت گرفته است. تحلیل منطقه‌ای شاید پایدارترین روش به منظور بهبود تخمین تناوب سیل باشد. هدف از تحلیل منطقه‌ای سیلاب تخمین مقادیر جربان و تناوب وقوع آن در یک حوضه مورد نظر است. به طور کلی تحلیل منطقه‌ای سیلاب شامل دو بخش (الف) تعیین حوضه‌های آبریزی که از لحاظ هیدرولوژیکی همگن‌اند، و (ب) حصول مدل‌های تناوب سیل برای هر منطقه همگن می‌باشد (۱۸).

دالریمپل برای اولین بار روش شاخص سیلاب (سیل نمایه) در تحلیل فراوانی منطقه‌ای را معرفی کرد (۷). بنسون نیز به بررسی این روش در تحلیل فراوانی منطقه‌ای پرداخت و اصلاحاتی را ارائه نمود (۶). این تحلیل در سیر تکاملی خود از صورت‌های مختلفی برخوردار بوده که روش شاخص سیلاب- گشتاورهای خطی یکی از معروف‌ترین

تخمین دبی سیلاب و برآورد دوره بازگشت پیشامدهای نادر، از جمله سیلاب‌ها و باران‌های حدی در محل مورد نظر پژوهه یکی از مهمترین عوامل لازم جهت طراحی کلیه سازه‌های آبی است (۱۳). بنابراین پژوهش در زمینه بهبود روش‌های تخمین سیلاب از اهمیت ویژه‌ای برخوردار است. از اوائل قرن ۱۹، تلاش‌های زیادی در زمینه

۱- دانشجوی سابق کارشناسی ارشد آبیاری و زهکشی، دانشکده کشاورزی دانشگاه فردوسی مشهد

۲- دانشیار گروه مهندسی آب دانشکده کشاورزی دانشگاه فردوسی مشهد  
(\*) نویسنده مسئول: Email:bijangh@yahoo.com

۳- استادیار گروه مهندسی آب، دانشکده کشاورزی، دانشگاه فردوسی مشهد  
۴- استادیار آمار، دانشکده علوم ریاضی و آمار، دانشگاه فردوسی مشهد

منطقه است و وجود سال‌های بدون جریان در دوره آماری موجود، مهم‌ترین مشکلات در بررسی تناوب سیل بوده که استفاده از روش‌های منطقه‌ای را ناگزیر می‌سازد. بنابراین هدف از مطالعه حاضر، اجرای تحلیل فراوانی منطقه‌ای با استفاده از روش شاخص سیلاب- گشتاورهای خطی در حوضه‌های آبریز استان‌های خراسان می‌باشد.

## مواد و روش‌ها

### تحلیل فراوانی سیلاب منطقه‌ای

تحلیل منطقه‌ای سیلاب شامل ۶ مرحله غربال داده‌ها، تعیین مناطق همگن، انتخاب تابع توزیع فراوانی منطقه‌ای، تخمین پارامترهای توابع توزیع هر ناحیه همگن، تخمین متوسط دبی سیلاب لحظه‌ای (سیلاب نمایه) در مناطق فاقد ایستگاه و محاسبه دبی سیلاب اوج لحظه‌ای با دوره بازگشتهای مختلف در نواحی همگن می‌باشد.

عموماً داده‌های مورد استفاده برای ناحیه‌ای کردن مناطق، چندک‌های محاسبه شده دبی سیلاب (آماره‌های مکانی) و دیگر ویژگی‌های هر ایستگاه (خصوصیات مکانی) است. در مطالعات محیطی، موقیت چغرافیایی، ارتفاع ایستگاه و دیگر ویژگی‌های فیزیکی و اقلیمی آن به عنوان ویژگی‌های مکانی در نظر گرفته می‌شوند. بر اساس مطالعات انجام شده (مثالاً ریگز ۱۹۷۳) سطح حوضه و پس از آن دو عامل شبیه آبراهه اصلی و متوسط بارندگی سالانه مهم‌ترین و موثرترین عامل در تولید سیلاب می‌باشد (۱۹).

### تحلیل خوشه‌ای

در این مطالعه به منظور ناحیه‌بندی مناطق مورد نظر، از تحلیل خوشه‌ای استفاده گردید. تحلیل خوشه‌ای به عنوان نوعی تحلیل چند متغیره، ابزاری آماری است که در آن داده‌ها و مشاهدات بر اساس متغیرهای تعیین شده توسط محقق طبقه‌بندی می‌شوند. روش‌های تحلیل خوشه‌ای در دو بخش کلی سلسله مراتبی و غیر سلسله مراتبی مطرح می‌شود. چندین الگوریتم معروف که کاربرد زیادی در تحلیل خوشه‌ای سلسله مراتبی دارند، شامل الگوریتم‌های پیوند تکی، پیوند متوسط و پیوند کامل می‌باشد. این الگوریتم‌ها در روش تعیین شیاهت و یا فاصله بین اعضاء و گروه‌ها، با یکدیگر متفاوتند. روش‌های تحلیل خوشه‌ای غیر سلسله مراتبی، جهت دسته‌بندی کردن مشاهدات به مجموعه‌ای از  $k$  خوشه طراحی شده است. تعداد خوشه‌ها، یعنی  $k$  ممکن است از پیش مشخص شده باشد، یا به عنوان بخشی از روش خوشه‌ای کردن تعیین گردد. به منظور مطالعات بیشتر به شامکوئیان (۱) مراجعه شود. در این مطالعه از روش تحلیل خوشه‌ای سلسله مراتبی و به منظور محاسبه فاصله بین حوضه‌های آبریز از روش بلوك

آنهاست و کارایی بالایی دارد.

گشتاورهای خطی که برای اولین بار در سال ۱۹۹۰ توسط هاسکینگ معرفی شدند، در تحلیل‌های فراوانی منطقه‌ای کاربردهای فراوانی دارند (۱۱). به طور کلی مهم‌ترین کاربرد گشتاورهای خطی را می‌توان در حل مسائل مربوط به تخمین پارامترهای توابع توزیع، تعیین بهترین تابع توزیع، خلاصه کردن توزیع آماری و منطقه‌ای کردن نام برد (۱۱). مطالعات انجام شده در زمینه هیدرولوژی و نظریه‌های آماری تعیین سری‌های سیل سالانه حداقل توسط هاسکینگ و همکاران، لتن‌مایر و پاتر و هاسکینگ نشان دادند که گشتاورهای وزنی احتمال و گشتاورهای خطی جهت تخمین پارامترهای توابع توزیع، به خصوص در مطالعات منطقه‌ای بسیار مناسب‌بند (۱۵ و ۱۱).

آداموسکی در پژوهشی به مقایسه روش‌های غیرپارامتری و گشتاورهای خطی در تحلیل منطقه‌ای سیلاب حوضه‌های واقع در استان‌های انتاریو و کبک کانادا پرداخت. وی در پژوهش خود، از داده‌های حداقل سالانه و سری‌های جزئی سیلاب استفاده کرد. او در نخستین گام، حوضه‌های مورد بررسی را بر اساس شکل تابع تجمعی و زمان وقوع سیل به ۹ ناحیه همگن تقسیم نمود، به طوری که نواحی همگن مکانیسم تولید سیلاب مشابه داشتند. نتایج این پژوهش نشان‌دهنده ناکارآمدی مدل‌های غیر پارامتری در جداسازی مکانیسم‌های مختلف سیلاب و در پی آن ضعف در تعیین نواحی همگن می‌باشد (۳). دین‌پژوه و همکاران با استفاده از روش گشتاورهای خطی، به بررسی همگنی و انتخاب توابع توزیعی که بهترین برآش را با آمار بارندگی ۷۷ ایستگاه ایران دارند پرداخته، و منحنی‌های رشد آمار بارش سالانه بدون بعد ناحیه‌ای را استخراج کردند. آنها در مطالعه خود جهت تقسیم ایران به مناطق همگن از بین ۵۷ متنیز، ۱۲ متنیز مناسب را به کمک روش‌های چند متغیره برگزیدند (۸). کومار با استفاده از آزمون‌های ناهمنایی و ناهمگنی، نمودار نسبت‌های گشتاورهای خطی و آزمون نیکوئی برآش معرفی شده توسط هاسکینگ و والیس به تحلیل فراوانی سیلاب منطقه‌ای پرداخت. نتایج نشان داد، تابع توزیع مقادیر حدی تعمیم یافته، بهترین برآش را با آمار سیلاب حوضه آبریز براهمایوتراپی شمالی هند دارد. او به کمک این تابع و با استفاده از رابطه همبستگی بین ویژگی‌های حوضه و متوسط دبی اوج لحظه همبستگی بین داده‌ها با دوره بازگشت مختلف پرداخت (۱۶ و ۱۳). آسکوئیت با استفاده از تئوری گشتاورهای خطی و گشتاورهای خطی تصحیح شده، پارامترهای تابع توزیع لاندای تعمیم یافته چهار پارامتری را برآورد کردند. نتایج نشان داد که این روش‌ها برای برآورد پارامترهای توابع توزیعی که در بینهایت هم معنی دار هستند، بسیار مناسب است (۵).

کمبود ایستگاه‌های آب‌سنگی، کوتاهی دوره آماری، وجود داده‌های پرت در دوره مشاهداتی که ناشی از وقایع نادر سیلابی در

میانگین دبی اوج لحظه‌ای سالانه مناطق دارای آمار، و ویژگی‌های فیزیوگرافی و اقلیمی آنها بر قرار می‌شود تا بتوان با استفاده از این رابطه میانگین مورد نظر در مناطق قادر آمار را محاسبه نمود. شکل کلی رابطه همبستگی خطی بین مقادیر میانگین دبی اوج لحظه‌ای و ویژگی‌های حوضه در رابطه (۲) ارائه شده است (۱۴):

$$\mu_i = \theta_0 + \sum_{j=1}^k \theta_j z_j^{(i)} + u_i \quad (2)$$

که در آن،  $\mu$  متوسط دبی اوج لحظه‌ای (سیلاب نمایه)،  $z_1, z_2, \dots, z_k$  ویژگی‌های منتخب فیزیوگرافی و اقلیمی ایستگاه  $i$ ،  $\theta_0, \theta_1, \dots, \theta_k$  پارامترهای مدل و  $u_i$  پارامتر خطای باشد.

با ضرب مقادیر دبی سیلاب بی بعد لحظه‌ای حاصل از توابع توزیع در سیلاب نمایه مطابق رابطه (۳)، مقادیر سیلاب در دوره بازگشت‌های مختلف را در هر نقطه از نواحی همگن محاسبه می‌شود.

$$\hat{Q}_i(F) = \hat{\mu}_i \hat{q}(F) \quad (3)$$

که در آن،  $\hat{\mu}_i$  برآورده از سیلاب نمایه،  $(F)$  چندک بی بعد ناحیه‌ای و  $\hat{Q}_i(F)$  مقادیر سیلاب برآورده شده در دوره بازگشت‌های مختلف می‌باشد.

### آزمون‌های تحلیل فراوانی

آزمون ناهمنوای: مبتنتی بر گشتاورهای خطی به منظور تشخیص ایستگاه‌های ناهمنوا از مجموعه ایستگاه‌های مورد مطالعه انجام می‌گیرد. برای این منظور آماره  $D$  بر اساس نسبت گشتاورهای خطی  $\tau_3$  و  $\tau_4$  هر ایستگاه محاسبه می‌شود. اگر  $D$  بزرگ باشد، ایستگاه ناهمنوا تلقی می‌گردد. تعریف مقدار بزرگ بودن، بستگی به تعداد ایستگاه‌های موجود در گروه دارد. اگر  $D$  از مقادیر تبیین شده جدول مقادیر بحرانی بیشتر باشد، ایستگاه مورد نظر ناهمنوا خواهد بود (۱۴). مقادیر حد مجاز آماره مذکور حسب تعداد ایستگاه‌های موجود در ناحیه مورد بررسی از ۱/۳۳۳ برای ۵ ایستگاه، تا ۳ برای ۱۵ ایستگاه و بیشتر تغییر می‌کند (۱۴).

آزمون ناهمگنی: اگر تغییرپذیری یا فضای پراکنش ایستگاه‌ها بزرگ باشد، احتمال تعلق این ایستگاه‌ها به یک مجموعه واحد را می‌توان به وسیله آزمون ناهمگنی گشتاورهای خطی بررسی کرد. آزمون ناهمگنی گشتاورهای خطی یک توزیع چهار پارامتری کاپا را به سری داده‌های مشاهداتی منطقه برآش داده، و به روش شبیه‌سازی مونت کارلو یک دسته ۵۰۰ تایی از داده‌های منطقه‌ای معادل را تولید می‌کند. سپس تغییرپذیری گشتاورهای خطی ناحیه‌ای واقعی را با گشتاورهای خطی سری شبیه‌سازی مقایسه می‌نماید (۱۳). عموماً سه

شهری، و برای تعیین فاصله بین گروه‌ها و خوشبندی آنها از الگوریتم پیوند متوسط استفاده شده است.

### گشتاورهای خطی و وزن دار احتمالی

برآورد پارامترهای توابع توزیع نواحی همگن، با استفاده از روش گشتاورهای وزن دار احتمالی (PWM) انجام پذیرفت. گشتاورهای خطی ترکیبات خطی از آماره‌های ترتیبی هستند به داده‌های پرت حساس نبوده و برای نمونه‌های کوچک از داده‌های مشاهداتی غیر اریب می‌باشند. بنابراین کاربرد آن‌ها برای تحلیل فراوانی سیلاب (تعیین تابع توزیع مناسب و تخمین پارامترهای آن) مناسب است (۱۱، ۱۳). این گشتاورها از لحاظ نظری مزایایی بر گشتاورهای متعارف دارند، از آن جمله که می‌توانند دامنه گسترده‌تری از توابع توزیع را مشخص کنند (۲۱). گشتاورهای وزنی احتمال (PWM) برای متغیر تصادفی  $X$  با تابع توزیع تجمعی  $F$ ، و امید ریاضی  $E$  توسط گرینوود و همکاران (۹) به صورت زیر بیان می‌شود:

$$\beta_r = E[X[F(X)]^r] \quad (1)$$

که در آن  $r$ ، برآورده موقعیت، و  $\tau$  مرتبه گشتاور می‌باشد (مثلاً ۰، ۱، ۲، و ۳). هاسکینگ (۱۱) (۱۰، ۱۱) چهار گشتاورهای خطی نخست را که ترکیباتی خطی از گشتاورهای وزن دار احتمال اند، را بترتیب به صورت  $\lambda_1 = \lambda_2 = \beta_0$ ،  $\lambda_2 = 2\beta_1 - \beta_0$ ،  $\lambda_3 = \beta_0 - 2\beta_1$ ،  $\lambda_4 = 20\beta_3 - 30\beta_2 + 12\beta_1 - \beta_0$  و  $\lambda_3 = 6\beta_2 - 6\beta_1 + \beta_0$  معرفی کرد. نسبت گشتاورهای خطی نیز توسط هاسکینگ (۱۱) به صورت  $\lambda_2 / \lambda_1 = \lambda_r$  و  $\tau = \lambda_r / \lambda_2$  (برای  $r > 2$ ) ارائه شده است. در این روابط، میانگین گشتاور خطی یا  $\lambda_1$ ، معیاری از تمايل به مرکز، و انحراف معیار گشتاور خطی یا  $\lambda_2$ ، معیاری از پراکندگی است. نسبت  $\lambda_2$  به  $\lambda_1$  یا  $\tau$ ، به عنوان ضریب تغییرات گشتاور خطی، نسبت  $\lambda_3$  به  $\lambda_2$  یا  $\tau_3$ ، به عنوان ضریب چولگی گشتاور خطی، و نسبت  $\lambda_4$  به  $\lambda_3$  یا  $\tau_4$ ، به عنوان ضریب کشیدگی گشتاور خطی، می‌باشد. علاوه بر موارد یاد شده،  $\lambda_1$  به عنوان اندازه یا معیار موقعیت و  $\lambda_2$ ، اندازه مقیاس و پراکنش نیز نام‌گذاری می‌شوند. گشتاورهای خطی و وزن دار احتمالی ابزاری مفید برای بررسی همگنی نواحی مورد مطالعه از نظر هیدرولوژیک، و هماهنگی ایستگاه‌های موجود در هر ناحیه و همچنین برآورد پارامترهای توابع توزیع به شمار می‌آیند.

### سیلاب نمایه

مناطق قادر ایستگاه عموماً یا قادر آمار سیلاب بوده و یا طول دوره آماری ناکافی دارند. لذا میانگین سیلاب در این مناطق قابل محاسبه نمی‌باشد. در چنین شرایطی یک رابطه همبستگی بین مقادیر

خطی تعیین و آماره  $Z$  نام می‌گیرد (۱۳).

$$Z^{DIST} = \left( \tau_4^{DIST} - t_4^R + B_4 \right) / \sigma_4 \quad (8)$$

در این رابطه DIST اشاره به توزیع منتخب می‌کند. و  $B_4$  به ترتیب مقدار اریب و انحراف از معیار  $t_4^R$  یا ضریب کشیدگی خطی متوسط ناحیه‌ای می‌باشد و با استفاده از روابط (۹) و (۱۰) محاسبه می‌شوند:

$$B_4 = N_{sim}^{-1} \sum_{m=1}^{N_{sim}} \left( t_4^{[m]} - t_4^R \right) \quad (9)$$

$$\sigma_4 = \left[ \left( N_{sim} - 1 \right)^{-1} \left\{ \sum_{m=1}^{N_{sim}} \left( t_4^{[m]} - t_4^R \right)^2 - N_{sim} B_4^2 \right\} \right]^{1/2} \quad (10)$$

$N_{sim}$  تعداد سری داده‌های منطقه‌ای شبیه‌سازی شده می‌باشد که با استفاده از توزیع کاپا و همانند روشن آماره همگن تولید گردیده است. حرف m اشاره به  $m$  این ناحیه شبیه‌سازی شده دارد که بدین روش به دست آمده است. تمامی منابع علمی در زمینه گشتاورهای خطی از این آزمون استفاده می‌کنند ولی این آزمون بر "بدنه" اطلاعات استوار است و لذا ما اعتقاد داریم که کفايت لازم را تدارد. بجای آن انتخاب نهایی توابع توزیع با استفاده از آزمون نیکوئی برآذش کلموگروف-اسمیرنوف انجام گردید. برتری این روش در تکیه به نقاط حدی است.

### نرم‌افزار مورد استفاده

به منظور اجرای کلیه مراحل پژوهش از نرم‌افزار MATLAB استفاده شده است. متن این برنامه‌ها توسط نویسنده اول مقاله حاضر تهیه شده است. برنامه‌های مذکور توانایی اجرای تحلیل خوش‌های و تعیین نواحی همگن بر اساس متغیرهای انتخابی، اجرای آزمون‌های گشتاورهای خطی، برآورد پارامترهای توابع توزیع متداول لوگنرمال سه پارامتری، پیرسون نوع ۳، پارتی تعمیم‌یافته، لوچستیک تعمیم‌یافته و مقادیر حدی تعمیم‌یافته و نیز تعیین مدل برآورد سیلان تمایه را دارد. درودی برنامه‌ها شامل اطلاعات مربوط به ایستگاه‌های مورد بررسی مانند تعداد سال‌های آماده، دبی سیلان اوج لحظه‌ای در طول دوره آماری و ویژگی‌های فیزیوگرافی حوضه‌های آبریز می‌باشد. روابط نظری این توابع به همراه تابع توزیع کاپا در اینجا آورده نشده است. خوانندگان علاقه‌مند می‌توانند به هاسکینگ و والیس (۱۴) مراجعه نمایند.

### منطقه مورد بررسی

منطقه مورد بررسی شامل حوضه‌های آبریز استان‌های خراسان شمالی، رضوی و جنوبی می‌باشد. تمامی این حوضه‌ها در ۷ حوضه

آماره ناهمگنی  $H_1$  برای بررسی ضریب تغییرات خطی ( $L_{CV}$ )، آماره  $H_2$  برای ترکیبی از ضریب تغییرات خطی و ضریب چولگی ( $L_{CS}$ ) و آماره  $H_3$  برای ترکیبی از ضریب چولگی خطی و ضریب کشیدگی خطی ( $L_{CK}$ ) در بررسی تغییرپذیری سه آماره خطی مختلف به کار گرفته می‌شود. هر یک از آماره‌های  $H$  دارای فرم عمومی مطابق رابطه (۴) است:

$$H = \frac{(V_{obs} - \mu_v)}{\sigma_v} \quad (4)$$

که در آن  $\mu_v$  و  $\sigma_v$  به ترتیب میانگین و انحراف معيار مقادیر شبیه‌سازی شده متغیر مورد نظر، و پارامتر  $V_{obs}$  مقادیر محاسبه شده متغیر مورد نظر با استفاده از داده‌های منطقه‌ای است. این پارامتر مبتنی بر یک آماره  $V$  بوده که برای هر یک از آماره‌های  $H$  (به ترتیب  $H_1$ ،  $H_2$  و  $H_3$ ) در روابط (۵) تا (۷) تعریف می‌شود:

$$V_1 = \sum_{i=1}^N n_i \left( t^{(i)} - t^{(R)} \right)^2 / \sum_{i=1}^N n_i \quad (5)$$

$$V_2 = \sum_{i=1}^N n_i \left\{ \left( t^{(i)} - t^{(R)} \right)^2 + \left( t_3^{(i)} - t_3^{(R)} \right)^2 \right\}^{1/2} / \sum_{i=1}^N n_i \quad (6)$$

$$V_3 = \sum_{i=1}^N n_i \left\{ \left( t_3^{(i)} - t_3^{(R)} \right)^2 + \left( t_4^{(i)} - t_4^{(R)} \right)^2 \right\}^{1/2} / \sum_{i=1}^N n_i \quad (7)$$

اگر  $|H_i|$  به اندازه کافی بزرگ باشد (از آن جا که  $\mu_v$  می‌تواند بزرگتر و یا کوچکتر از  $V_{obs}$  باشد، قدر مطلق  $H$  مورد بررسی قرار می‌گیرد)، ناحیه ناهمگن خواهد بود. یک ناحیه وقتی می‌تواند ناحیه همگن قابل قبول باشد اگر  $1 < |H_i| < 2$ ، و می‌تواند ناحیه نسبتاً ناهمگن باشد اگر  $2 < |H_i| \leq 1$  و به عنوان ناحیه مشخصاً ناهمگن خواهد بود اگر  $|H_i| > 2$  باشد. با این وجود بر اساس هاسکینگ و والیس (۱۲) آماره‌های  $H_3$  و  $H_2$  بر اساس معیارهای  $V_2$  و  $V_3$  قادر توان لازم برای تفکیک بین نواحی همگن و ناهمگن بوده و آماره  $H_1$  بر اساس  $V_1$  توان بهتری برای تفکیک دارد. بنابراین عمدتاً آماره  $H_1$  بر اساس  $V_1$  به عنوان شاخص اساسی برای معیار ناهمگنی توصیه شده است. به منظور بررسی همگن بودن مناطق از نقطه نظر هیدرولوژیک روش‌های دیگری نیز وجود دارد (۴) که در اینجا بررسی نشده است.

آزمون نیکوئی برآذش: هنگامی که داده‌های موجود در یک ناحیه همگن بوده و متعلق به یک توزیع پارامتری مشخصی باشند، آزمون نیکوئی مبتنی بر گشتاورهای خطی انجام می‌گیرد تا یکی از توزیع‌های رایج انتخاب و پارامترهای آن تخمین زده شود. سپس تناوب‌های سیل در داخل یک ناحیه بر اساس توزیع منطقه‌ای منتخب تعیین می‌شود. معیار برآزندگی برای هر توزیع بر اساس گشتاورهای

در جدول (۱) برخی از ویژگی های ایستگاه های آب سنجی مورد استفاده در مطالعه حاضر ارائه شده است. در این جدول ردیف های ۱ تا ۱۳ در خراسان شمالی، ردیف ۶۸ در خراسان جنوبی و بقیه ردیف ها مربوط به خراسان رضوی می باشد. به طور کلی طول دوره آماری ایستگاه های مورد بررسی متفاوت بوده و بین ۶ تا ۳۹ سال (به ترتیب برای ایستگاه های عراقی و آق دریند) متغیر می باشد.

## نتایج و بحث

تمامی داده های مورد استفاده در تحلیل (آمار سیلاب اوج لحظه ای و ویژگی های حوضه های آبریز) به صورت تک تک به منظور تشخیص داده های پرت و تکراری مورد بررسی قرار گرفت، و برای ادامه کار تنها از داده های مورد قبول استفاده شد. در قدم اول و در یک روال سعی و خطأ با استفاده از تحلیل خوشه ای در محیط نرم افزار MATLAB، ضریب کوفتیک حاصل از تحلیل خوشه ای هر ترکیب مختلفی از متغیر های موجود محاسبه گردید. بر این اساس بالاترین ضریب کوفتیک ( $=0.92$ ) با انتخاب چهار متغیر مساحت، طول بلند ترین آبراهه، طول و عرض مرکز ثقل بدست آمد. در قدم بعد با در نظر گرفتن تعداد خوشه های مختلف، مقادیر متوسط عرض سیله هوت هر یک از آنها محاسبه گردید. در نتیجه بهترین گروه بندی با انتخاب هفت خوشه توأم بود که بیشترین مقدار این عامل ( $S=0.65$ ) را دربر داشت. جزئیات بیشتر در مورد ترکیبات متغیرها و تعداد خوشه های دیگر در شامکوئیان (۱۳۸۶) آورده شده است (۱). جدول (۲) و شکل (۱) ایستگاه های مربوط به هر ناحیه حاصل از تحلیل خوشه ای را نشان می دهد.

## آزمون ناهمنوایی

به منظور تعیین ایستگاه های ناهمنوا با سایر ایستگاه ها، مبادرت به محاسبه ضرائب گشتاور های خطی (ضرائب تغییرات خطی  $\tau$ ، چولگی  $\tau_3$  و کشیدگی  $\tau_4$ ) و آماره ناهمنوای  $D$  ایستگاه های واقع در هر ناحیه گردید. بر این اساس، تنها ایستگاه چشممه علی واقع در ناحیه C با آماره ناهمنوای  $0.48/3$  نسبت به سایر ایستگاه های این ناحیه ناهمنوا تشخیص داده شد و از محاسبات حذف گردید. این ایستگاه از طول دوره آماری کمتری (۱۰ سال)، در مقایسه با سایر ایستگاه ها برخوردار است. همچنین ایستگاه مذکور ضریب کشیدگی منفی داشته ( $\tau_4 = -0.0125$ ) که با ایستگاه های دیگر موجود در ناحیه C هم خوانی ندارد (گرچه امکان محاسبه عدد منفی از نظر منطقی وجود دارد). به علاوه میزان ضرائب تغییرات خطی و چولگی آن نیز در مقایسه با اکثر ایستگاه های ناحیه مربوطه کمتر است. ترکیب عوامل باد شده احتمالاً منجر به ناهمنوا شدن این ایستگاه با سایر ایستگاه های ناحیه C می شود.

اصلی به نام های اترک، کشف رود-هیریرود، نمکزار خوفاف، کال شور شمالی، کال شور جنوبی، کویر لوت و حوضه آبریز هیرمند واقع می شوند. در مطالعه حاضر از آمار دبی سیلاب اوج لحظه ای ۶۸ ایستگاه آب سنجی واقع در این حوضه ها و ویژگی های فیزیوگرافی حوضه های آبریز مربوطه شامل مساحت، شب و ارتفاع متوسط، طول و عرض مرکز ثقل حوضه، طول آبراهه اصلی و ضریب شکل آن ها استفاده شده است.

حوضه آبریز اترک در شمال استان خراسان و هم مرز با کشور ترکمنستان می باشد. مساحت کل حوضه  $18582 \text{ km}^2$  است. این حوضه از شمال به کشور ترکمنستان و حوضه کشف رود-هیریرود، از شرق به حوضه آبریز کشف رود-هیریرود، از جنوب به حوضه آبریز کال شور و کویر مرکزی و از غرب به مرز استان گلستان محدود می شود. مهم ترین آبراهه حوضه مذکور رودخانه اترک است (۲). تنها بخشی از حوضه آبریز اترک در استان های خراسان واقع شده است. بخش جنوب غربی حوضه آبریز کشف رود-هیریرود (قره قوم)، با وسعتی معادل  $4403 \text{ km}^2$  در شمال غرب خراسان و هم مرز با ترکمنستان (در شمال و شمال غربی) و افغانستان (از سمت غرب)، واقع شده است. حوضه مذکور در بر گیرنده دو رودخانه اصلی است (۲). حوضه آبریز نمکزار خوفاف در شرق استان خراسان و در مجاورت مرز افغانستان واقع شده است. این حوضه آبریز از شمال به حوضه آبریز کشف رود-هیریرود، از غرب به حوضه کال شور، از شرق به مرز بین المللی و از جنوب و جنوب غربی به حوضه هیرمند محدود می شود (۲). حوضه آبریز کال شور نمک (کال شور جنوبی) از شمال به حوضه آبریز کشف رود-هیریرود و کال شور و کویر مرکزی، از جنوب به حوضه آبریز کویر لوت و از شرق به حوضه آبریز نمکزار خوفاف محدود می شود. وسعت کل حوضه  $3880 \text{ km}^2$  می باشد (۲). مجموع مساحت حوضه آبریز کال شور و کویر مرکزی (کال شور شمالی) در خراسان  $66248 \text{ km}^2$  کیلومتر مربع بوده که از شمال به حوضه کال شور جنوبی، از جنوب به حوضه کویر لوت، از شرق به حوضه نمکزار خوفاف و کال شور جنوبی و از غرب به مرز استان خراسان با دیگر استان ها محدود می شود (۲). حوضه آبریز کویر لوت با کل مساحت  $134680 \text{ km}^2$  در چهار استان خراسان، کرمان، سیستان و بلوچستان و یزد واقع شده است. مساحت آن بخش از حوضه که در استان خراسان قرار دارد، حدود  $78962 \text{ km}^2$  بوده که در بر گیرنده  $3$  زیر حوضه می باشد (۲). کل مساحت حوضه آبریز هیرمند در خراسان افغانستان، از جنوب به مرز سیستان و بلوچستان و از شرق به حوضه کویر لوت محدود می شود (۲).

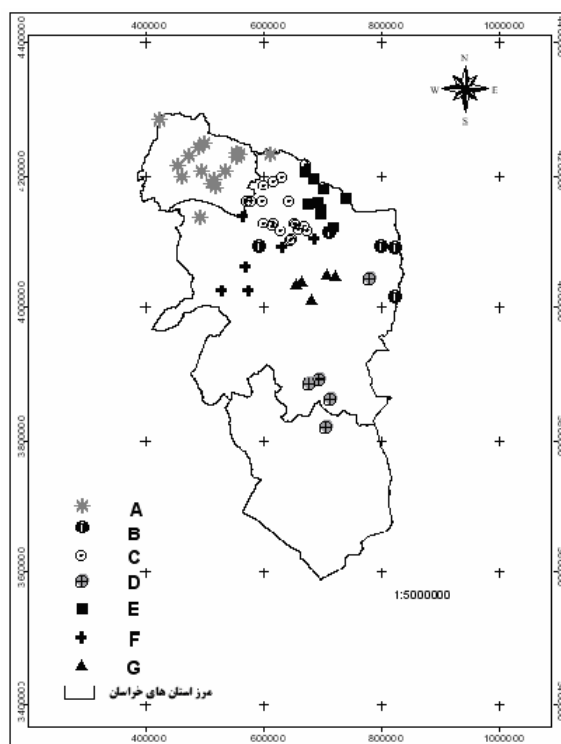
(جدول ۱)- برخی از ویژگی‌های ایستگاه‌های آب سنجی استان‌های خراسان

ردیف	ایستگاه	رودخانه	طول دوره آماری	ارتفاع از سطح دریا (متر)	ردیف	ارتفاع از سطح دریا (متر)	طول دوره آماری	رودخانه	ایستگاه	ردیف
۱	آبرقایه	چندیز	۱۸	۱۲۰	۳۵	۳۵	۱۲۰	۳۱	بیلوار	۲
۲	اسفران	پالسون	۳۶	۱۲۰	۳۶	۳۷	۸۸۰	۲۷	قلجق	۳
۳	پارزو	حسین آباد چنگل	۱۹	۱۲۰	۲۱	۲۱	۶۸۰	۳۱	چشمیده	۴
۴	چشمیده	خونیک علیا	۲۱	۱۱۵۵	۳۸	۳۹	۱۱۵۵	۳۱	درکش	۵
۵	درکش	دلتا آباد	۲۸	۱۵۰	۴۰	۴۰	۱۵۰	۳۳	سلطان	۶
۶	دریند سماقان	جام رود	۱۱	۱۷۶۰	۴۱	۴۱	۱۷۶۰	۱۷	سنگخواست	۷
۷	دریند سنگخواست	دریند کلات	۷	۱۲۰	۴۲	۴۲	۱۲۰	۱۰	شورک	۸
۸	دور	دهنه شور	۱۶	۱۴۳۰	۴۳	۴۳	۱۴۳۰	۶	روین	۹
۹	عرaci	کالشور	۷۹	۱۴۳۰	۴۴	۴۴	۱۴۳۰	۱۵	فیروزه	۱۰
۱۰	فیروزه	زشك	۳۴	۶۹۰	۴۵	۴۵	۶۹۰	۳۴	شیرین دره	۱۱
۱۱	شیرین دره	زرنده	۱۸	۴۱۰	۴۶	۴۶	۴۱۰	۱۶	شیرین دره	۱۲
۱۲	شیرین دره	سنگ دیوار	۳۱	۱۲۰	۴۷	۴۷	۱۲۰	۸	قلچق	۱۳
۱۳	قوردانلو	شاندیز	۳۱	۱۵۰	۴۸	۴۸	۱۵۰	۷	کورکالو	۱۴
۱۴	کورکالو	شريف آباد	۷	۱۲۹۰	۴۹	۴۹	۱۲۹۰	۳۹	کشف رود	۱۵
۱۵	آق دریند	شست دره	۳۳	۱۵۷۰	۵۰	۵۰	۱۵۷۰	۳۲	رادکان	۱۶
۱۶	رادکان	صوبير	۱۶	۱۱۵۰	۵۱	۵۱	۱۱۵۰	۱۷	بار	۱۷
۱۷	بار	طاغون	۲۸	۱۲۳۰	۵۲	۵۲	۱۲۳۰	۲۲	کارده	۱۸
۱۸	کارده	عيسى آباد	۱۲	۱۰۸۰	۵۳	۵۳	۱۰۸۰	۱۹	اندرخ	۱۹
۱۹	اندرخ	شاخن	۱۷	۱۰۰	۵۴	۵۴	۱۰۰	۲۱	اونگ اسدی	۲۰
۲۰	اونگ اسدی	قره تیکان	۷۷	۱۱۶۰	۵۵	۵۵	۱۱۶۰	۳۲	امازاده رادکان	۲۱
۲۱	امازاده رادکان	کارده بالا	۲۰	۱۲۲۰	۵۶	۵۶	۱۲۲۰	۱۷	افين	۲۲
۲۲	افين	کیکان	۲۶	۱۰۸۰	۵۷	۵۷	۱۰۸۰	۲۲	شیخ	۲۳
۲۳	شیخ	کوشک آباد	۷	۳۹۰	۵۸	۵۸	۳۹۰	۲۲	بند ساروج	۲۴
۲۴	بند ساروج	طرق	۳۸	۶۷۰	۵۹	۵۹	۶۷۰	۳۳	فریمان	۲۵
۲۵	فریمان	قلندرآباد	۳۳	۱۸۷۰	۶۰	۶۰	۱۸۷۰	۲۲	سنگرد	۲۶
۲۶	سنگرد	کلااته رحمان	۳۱	۱۹۵۰	۶۱	۶۱	۱۹۵۰	۲۵	پل خاتون	۲۷
۲۷	پل خاتون	چاغرق	۲۶	۱۴۰	۶۲	۶۲	۱۴۰	۲۸	تیمنک	۲۸
۲۸	تیمنک	گلمکان	۱۴	۱۱۰	۶۳	۶۳	۱۱۰	۳۴	اترک	۲۹
۲۹	اترک	مه نساء	۱۹	۱۳۹۰	۶۴	۶۴	۱۳۹۰	۹	کال سالار	۳۰
۳۰	کال سالار	دوزنگ	۲۰	۹	۶۵	۶۵	۹	۲۳	تروسک	۳۱
۳۱	تروسک	موشنگ	۳۳	۱۰۵۰	۶۶	۶۶	۱۰۵۰	۲۰	جهفر مشهدی	۳۲
۳۲	جهفر مشهدی	خرکوچک	۲۵	۱۷۰	۶۷	۶۷	۱۷۰	۸	چنگ	۳۳
۳۳	چنگ	نشیب	۲۰	۱۰	۶۸	۶۸	۱۰	۱۰	چشمیده علی	۳۴
۳۴	چشمیده علی	اترک	۲۲	۲۴	۶۶	۶۶	۵۰۰	۲۴	چهچهه	۳۵
۳۵	چهچهه	هي هي قوچان	۱۹	۱۲۰	۶۷	۶۷	۱۲۰	۲۰	چکنه علیا	۳۶
۳۶	چکنه علیا	ینگجه	۱۹	۱۷	۶۸	۶۸	۱۷	۱۷	حصار	۳۷
۳۷	حصار	فخررود	۱۲	۱۲۰	۶۸	۶۸	۱۲۰	۲۹	دهیار	۳۸

(جدول ۲)- ایستگاه‌های خوشبندی شده هر ناحیه با استفاده از تحلیل خوشای

ناحیه ایستگاهها	تعداد
A	۱۶
B	۵
C	۲۰
D	۵
E	۱۱
F	۶
G	۵

\* بر اساس جدول شماره (۱)



(شکل ۱)- موقعیت ایستگاه‌های آب‌سنجی موجود در نواحی هفت‌گانه

همگنی نواحی را تأیید نماید، دو آماره دیگر نیز این مطلب را تأیید می‌کنند. این مورد در متابع دیگر نیز اشاره شده است (۱۳ و ۱۴). قابل به ذکر است که تمامی مراحل آزمون‌های ناهمگنی در هر یک از نواحی ۷ گانه به طور مجزا اجرا می‌شود.

### آزمون ناهمگنی

جدول (۳) نتایج آزمون‌های  $H$  را در هر یک از نواحی نشان می‌دهد. مقدار قدر مطلق تماماً مقادیر از یک کمتر است و لذا همگنی نواحی ۷ گانه به خوبی تأیید می‌شود. مقادیر بزرگتر قدر مطلق  $H_1$  در مقایسه با  $H_2$  و  $H_3$  نشان می‌دهد که غالباً چنانچه آماره

(جدول ۳)- نتایج آزمون ناهمگنی نواحی ۷ گانه

$H_3$	$H_2$	$H_1$	ناحیه
-۰/۴۷۹۵	-۰/۶۰۴۲	-۰/۶۰۳۲	A
-۰/۲۸۸۷	-۰/۱۹۵۳	-۰/۹۹۶۴	B
-۰/۳۴۴۵	-۰/۲۵۸۹	-۰/۶۸۱	C
-۰/۰۴۹۲	-۰/۴۱۰۳	-۰/۷۳۸۶	D
-۰/۲۴۳۱	-۰/۹۸۶	-۰/۷۳۷۵	E
-۰/۵۳۴۵	-۰/۴۰۲۷	-۰/۶۳۱۸	F
-۰/۰۷۹۳	-۰/۰۶۶۸	-۰/۸۲۶۹	G

نظر گرفته شده قابل قبول است. ولیکن جهت انتخاب بهترین تابع توزیع از نظر تولید آمار سیلاب با دوره بازگشتهای بالا، از آزمون کلموگروف- اسمیرنوف استفاده می‌شود. توابع انتخاب شده در هر

### آزمون نیکوئی برآش به منظور تعیین مناسب‌ترین تابع توزیع نواحی همگن

نتایج حاصل از آزمون نیکوئی برآش  $Z$  در جدول (۴) نشان داده شده است. بر اساس این جدول و با در نظر گرفتن محدوده مجاز

ممکن، تابع توزیع مقادیر حدی تعمیم یافته نیز برای تمامی نواحی در سطح  $\alpha = 0.2$  معنی دار تشخیص داده شد. به عبارت دیگر می توان برای نواحی مورد مطالعه، تابعی واحد با پارامترهای متفاوت پیشنهاد نمود.

ناحیه در بالاترین سطح اعتماد آزمون کلموگروف- اسمیرنوف معنی دار هستند که نتایج به دست آمده در جدول (۵) آورده شده است. با این وجود برخی دیگر از توابع نیز توسط این آزمون پذیرفته می شوند، لیکن در جدول (۵) تنها مناسبترین توابع توزیع آورده شده است. علاوه بر توابع انتخابی در هر ناحیه به عنوان بهترین حالت

(جدول ۴)- مقایسه آماره  $Z^{DIST}$  (تقسیم بر ۱۰۰۰۰) در نواحی ۷ گانه

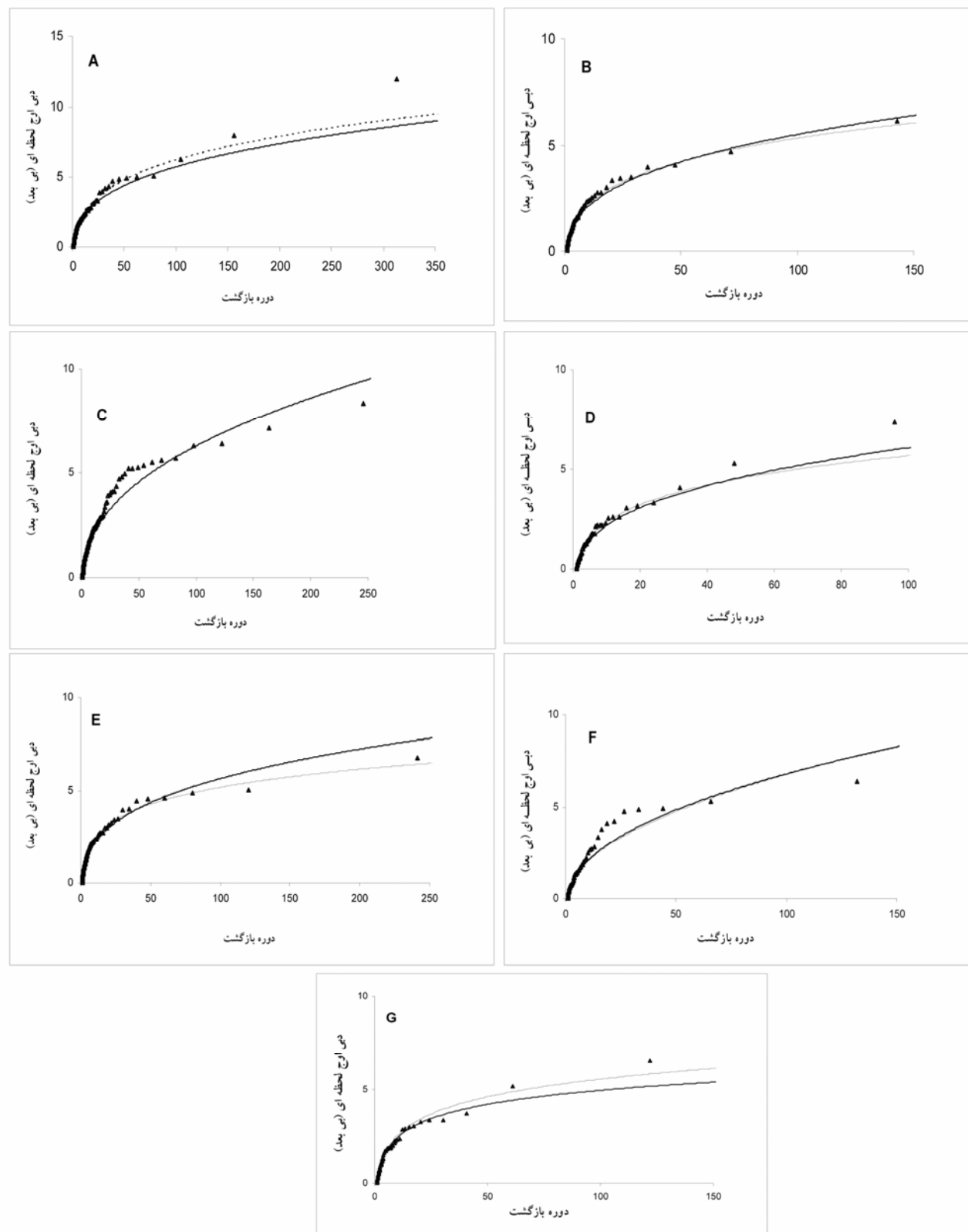
ناحیه	لوگ نرمال سه پارامتری	پیرسون نوع ۳	مقادیر حدی تعمیم یافته	لوگستیک تعمیم یافته	پارتو تعمیم یافته
A	۱۲	۴/۲۳	۱۶	۱۸	۹/۶۴
B	-۱۸	-۲۱	-۱۶	-۱۴	-۲۰
C	-۰/۱۷	-۸/۱۸	۴/۵۴	۵/۸۶	-۱/۴۲
D	-۱۷۳	-۲۵۱	-۱۲۷	-۱۰۵	-۲۰۷
E	۶/۹۳	-۱۶	۲۰	۲۹	-۸/۳۰
F	-۱۷	-۲۳	-۱۳	-۱۳	-۱۷
G	۳/۰۷	-۶۵	۴۳	۶۸	-۳۹

(جدول ۵)- توزیع های آماری تعیین شده برای نواحی ۷ گانه با استفاده از آزمون کلموگروف- اسمیرنوف

ناحیه	توزیع آماری انتخابی	تابع چندک بدون بعد ناحیه ای
A	لوگ نرمال سه پارامتری	$\hat{Q}_T = -0.0907 + \exp(-0.3616 + 0.947 u)$
B	لوگ نرمال سه پارامتری	$\hat{Q}_T = -0.1512 + \exp(-0.1914 + 0.8151 u)$
C	مقادیر حدی تعمیم یافته	$\hat{Q}_T = 0.4711 - 0.9805 \left[ 1 - \left\{ -\log \left( 1 - \frac{1}{T} \right) \right\}^{-0.421} \right]$
D	پارتو تعمیم یافته	$\hat{Q}_T = 1.3 \times 10^{-5} - 5.553 \left[ \left( 1 - T^{0.1526} \right) \right]$
E	پارتو تعمیم یافته	$\hat{Q}_T = -0.0145 - 11.3887 \left[ \left( 1 - T^{0.0818} \right) \right]$
F	لوگستیک تعمیم یافته	$\hat{Q}_T = 0.6077 - 0.7331 \left[ 1 - (T - 1)^{0.4883} \right]$
G	پیرسون نوع ۳	$\hat{Q}_T = 0.999 + 1.101 K_T$

معنی دار نبوده و روابط تعیین شده مطابق آزمون های نیکوئی برازش قابل قبول می باشند. همچنین با توجه به شکل مذکور نتایج حاصل از توابع توزیع مقادیر حدی تعمیم یافته نواحی مختلف، تفاوت چندانی با توابع چندک آن ها ندارد. بنابراین می توان از این تابع به عنوان تابعی جایگزین توابع دیگر استفاده نمود. قابل به ذکر است که استفاده از یک نوع تابع توزیع برای تمامی نواحی مورد مطالعه، می تواند کاربردی تر و مؤثر تر واقع شود.

برآوردهای پارامترهای توابع توزیع نواحی همگن، با استفاده از روش گشتاورهای وزن دار احتمالی (PWM) و روابط پیشنهادی هاسکینگ (۱۱) صورت گرفت. پس از برآوردهای پارامترهای توابع توزیع، تابع چندک هر یک از نواحی ۷ گانه و تابع توزیع مقادیر حدی تعمیم یافته مربوط به آن ها ترسیم و در شکل (۲) ارائه شده است. با توجه به شکل مذکور مشاهده می شود که مقادیر سیلاب نظری و تجربی از نزدیکی خوبی به خصوص در نواحی B، C، E و G برخوردارند. با این وجود تفاوت حاصل بین مقادیر سیلاب نظری و تجربی در نواحی دیگر



(شکل ۲)- مقایسه مقادیر دبی اوج لحظه‌ای بی‌بعد ناحیه‌ای تجربی (نقاط) و نظری (خط ممتد بر اساس توابع چندک و خط منقطع بر اساس تابع توزیع GEV هر یک از نواحی ترسیم شده است).

خطای استاندارد کمتر) برای هر یک از ناحیه‌ها داشتند. شکل کلی این رابطه به صورت زیر است:

$$\begin{aligned} \text{Log}(\mu) = & \theta_0 + \theta_1 \text{Log}(H) + \theta_2 \text{Log}(FF) \\ & + \theta_3 \text{Log}(S) + \theta_4 \text{Log}(A) \end{aligned} \quad (11)$$

ضرائب مدل مذکور و ویژگی‌های آماری آن برای هر ناحیه در جدول (۶) ارائه شده است. از آنجا که می‌بایست تأثیر متغیرهای مدل مذکور بر متوسط سیلاب اوج لحظه‌ای به شکل توان مورد بررسی قرار گیرد، تغییر علامت هر یک از این متغیرها در نواحی مختلف دور از انتظار نخواهد بود.

### تخمین متوسط دبی سیلاب لحظه‌ای (سیلاب نمایه) در مناطق فاقد ایستگاه

به منظور تخمین مقادیر سیلاب با دوره بازگشت‌های مختلف، برآورده از میانگین دبی سیلاب اوج لحظه‌ای (سیلاب نمایه) مورد نیاز است (رابطه ۳). به منظور انتخاب متغیرهای مستقل مناسب، ترکیبات مختلفی از متغیرهای قابل تهیه درنظر گرفته شد و مدل لگاریتمی آن در هر ناحیه مورد بررسی و آزمون قرار گرفت. در نهایت چهار متغیر مستقل شیب متوسط (S)، ارتفاع متوسط بر حسب متر (H)، مساحت بر حسب کیلومتر مربع (A) و ضریب شکل (FF) ویژگی‌های آماری مناسب‌تری (ضریب همبستگی بیشتر و متوسط

(جدول ۶)- ضرائب مدل لگاریتمی چهار متغیره پیشنهادی رابطه (۲۴) برای هر یک از نواحی ۷ گانه

MSE	$\theta_4$	$\theta_3$	$\theta_2$	$\theta_1$	$\theta_0$	تعداد ایستگاه‌ها	ناحیه
-۰.۰۸۶	-۰/۴۷	-۱/۲۴	-۰/۲۳	-۰/۷۶	-۳/۱۹	۱۶	A
-۰.۰۸۳	۱/۷۳	-۰/۶۶	-۰/۰۰۰۲	-۰/۱۶	-۱۵/۵۷	۵	B
-۰.۰۶۲	-۰/۳۷	-۰/۱۶	-۰/۵۷	-۱/۸۵	۴/۶۳	۱۹	C
-۰.۰۸۱	-۵/۵۸	۱۵/۵۵	-۲۳/۸۴	-۱۵/۴۹	۷۵/۱۸	۵	D
-۰.۰۱۷	-۰/۱۷	-۰/۲۸	-۰/۱۳	-۰/۳۷	۱/۰۰	۱۱	E
-۰.۰۱۴۵	-۰/۰۳۶	-۱/۶۰	۱/۱۳	۱/۱۶	۳/۵۸	۶	F
-۰.۰۷۸	-۰/۶۹	-۱/۷۸	-۰/۹۹	۱۲/۰۳	-۴۱/۹۲	۵	G

حاصل از این مقایسه در جدول (۷) ارائه شده است. با توجه به جدول مذکور مشاهده می‌شود که شیب و عرض از مبدأ خطوط همبستگی نزدیکی خوبی با خط ۱:۱ دارند.

با استفاده از آزمون  $t$  صحت این مدل‌ها مورد بررسی قرار گرفت. به عبارت دیگر خط برازش یافته بین مقادیر سیلاب تجربی و تئوری حاصل از توابع توزیع پیشنهاد شده با خط ۱:۱ مقایسه گردید. نتایج

(جدول ۷)- نتایج آزمون  $t$  و تعیین ضریب همبستگی بین مقادیر متوسط دبی اوج لحظه‌ای واقعی و تخمینی در نواحی ۷ گانه

ناحیه	سطح معنی‌داری $R$	ضریب همبستگی $R$	رابطه همبستگی
A	-۰/۰۱	-۰/۷۱	$y = x + 3 \times 10^{-5}$
B	-۰/۰۰۱	-۰/۹۹	$y = 1.008x - 0.0174$
C	-۰/۰۰۱	-۰/۸	$y = x - 5 \times 10^{-5}$
D	-۰/۰۰۱	-۰/۹۹	$y = 1.0038x - 0.0054$
E	-۰/۰۵	-۰/۶۱	$y = 1.0001x - 0.0001$
F	-۰/۰۰۱	-۰/۹۸	$y = 0.9989x + 0.0009$
G	-۰/۰۰۱	-۰/۹۹	$y = 0.9999x + 7 \times 10^{-5}$

با استفاده از توابع توزیع انتخابی در هر ناحیه همگن (جدول ۵) می‌توان اقدام به برآورده بدبی سیلاب اوج لحظه‌ای بی‌بعد در دوره

محاسبه دبی سیلاب اوج لحظه‌ای در دوره بازگشت‌های مختلف در نواحی همگن

گشتاورهای خطی (آزمون ناهمگنی) مورد بررسی قرار گرفت و در نتیجه تمامی نواحی ۷ گانه همگن تشخیص داده شدند. با استفاده از آزمون نیکوئی برازش کلموگروف-اسمیرنوف توابع توزیع لوگ نرمال سه پارامتری در دو ناحیه A و B، مقادیر حدی تعیین یافته در ناحیه C، پارت تو تعیین یافته در دو ناحیه D و E، لوجستیک تعیین یافته در ناحیه F و نهایتاً پیرسون نوع ۳ در ناحیه G به منظور برآورد دبی سیلاب اوج لحظه‌ای در دوره بازگشتهای مختلف انتخاب شدند. علاوه بر توابع انتخابی در هر ناحیه به عنوان بهترین حالت ممکن، تابع توزیع مقادیر حدی تعیین یافته نیز برای تمامی نواحی در سطح معنی‌دار تشخیص داده شد. قابل به ذکر است که استفاده از یک نوع تابع توزیع برای تمامی نواحی مورد مطالعه، می‌تواند کاربردی‌تر و مؤثرتر واقع شود. مدلی لگاریتمی و چهار متغیره با استفاده از مقادیر متوسط دبی سیلاب اوج لحظه‌ای به عنوان متغیر وابسته، و شبیب و ارتفاع متوسط، مساحت و ضربی شکل به عنوان متغیرهای مستقل حوضه‌های آبریز در هر ناحیه استخراج شد. به کمک این مدل‌ها می‌توان اقدام به برآورد سیلاب نمایه در هر نقطه از نواحی همگن، و مقیاس دار کردن مقادیر سیلاب بی بعد ناحیه‌ای نمود. بنابراین با استفاده از تحلیل مذکور می‌توان در هر نقطه از حوضه‌های آبریز استان‌های خراسان، به خصوص مناطقی که فاقد آمار کافی جهت مطالعات هیدرولوژی هستند از روابط چندک‌های بی بعد ناحیه‌ای استفاده کرد. همان‌طور که اشاره شد، نوآوری تحقیقاتی این پژوهش، تدوین برنامه‌های کامپیوتی اجرای مرحله تحلیل منطقه‌ای در محیط نرم‌افزاری MATLAB می‌باشد و در سطح منطقه اهمیت کاربردی دارد.

بازگشتهای مختلف نمود. با توجه به مدل لگاریتمی پیشنهادی در هر ناحیه همگن (جدول ۶) سیلاب نمایه مربوطه محاسبه و با استفاده از رابطه (۳) مقادیر سیلاب بی بعد مقیاس دار می‌شوند. به طور کلی در تمامی نواحی مورد مطالعه روابط به دست آمده به منظور برآورد سیلاب اوج لحظه‌ای در دوره بازگشتهای کم، از نزدیکی خوبی با آمار واقعی برخوردار است. با افزایش دوره بازگشت از حدود ۱۰۰ سال، به جز در سه ناحیه B، E و G این مقادیر از هم فاصله گرفته و در نهایت از دقت برآوردها کاسته می‌شود. با این وجود با توجه به آزمون نیکوئی برازش کلموگروف-اسمیرنوف این کاهش دقت در دوره بازگشتهای مذکور، معنی‌دار نمی‌باشد. همچنین با مقایسه منحنی GEV با توابع توزیع تعیین شده در هر یک از نواحی، تفاوت چشمگیری مشاهده نشد. با توجه به این مطلب می‌توان تابع توزیع مذکور را به عنوان جایگزین توابع دیگر در نواحی ۷ گانه پذیرفت.

### نتیجه‌گیری

در مطالعه انجام شده به منظور اجرای تحلیل فراوانی سیلاب منطقه‌ای، از نظر شباهت در فرایند تولید سیلاب، حوضه‌های آبریز استان‌های خراسان به ۷ ناحیه همگن تقسیم شدند. به منظور تقسیم منطقه تحت مطالعه به نواحی همگن، از تحلیل خوش‌های سلسه مراتبی و غیر سلسه مراتبی، و ویژگی‌های فیزیوگرافی شامل ضربی شکل، مساحت، ارتفاع و شبیب متوسط حوضه‌های آبریز استفاده شد. با استفاده از تحلیل خوش‌های غیر سلسه مراتبی (الگوریتم k-means) و مقایسه عرض سیلهوت حاصل از تعداد خوش‌های مختلف، تعداد ۷ خوش در منطقه مورد مطالعه مناسب تشخیص داده شد. همگنی حاصل از تحلیل خوش‌های با استفاده از روش‌های آماری بر اساس

### منابع

- شامکوئیان، ح. ۱۳۸۶. تحلیل فراوانی سیلاب منطقه‌ای با استفاده از تئوری گشتاورهای خطی و سیلاب نمایه در حوضه‌های آبریز استان‌های خراسان. پایان‌نامه کارشناسی ارشد، دانشکده کشاورزی، دانشگاه فردوسی مشهد.
- قبادیان، ع. ۱۳۶۹. سیمای طبیعی فلات ایران در ارتباط با بهره‌برداری کشاورزی- احیاء و بازسازی منابع طبیعی کشور، انتشارات دانشگاه شهید باهنر کرمان.
- Adamowski, K. (2000). "Regional analysis of annual maximum and partial duration flood data by nonparametric and l-moment methods", Journal of Hydrology, 229, 219-231.
- Alila, Y. (2000). "Regional rainfall depth-duration-frequency equations for Canada", Water Resources Research, 36(7), 1767-1778.
- Asquith, W. H. (2006). "L-Moments and TL-Moments of the generalized lambda distribution", Computational Statistica & Data Analysis, 3, 102-110.
- Benson, M. A. (1962). "Factors influencing the occurrence of floods in a humid region of diverse terrain", USGS Water Supply Paper, 1580-B.
- Dalrymple, T. (1960). "Flood frequency analysis", US Geol. Surv. Wat. Supply Pap., 1543-A.
- Dinpashoh, Y., Fakheri-Fard, A., Moghaddam, M., Jahanbakhsh, S. and Mirnia, M. (2003). "Selection of variables for the purpose of regionalization of Iran's precipitation climate using multivariate methods", Journal of Hydrology, 297, 109-123.

- 9- Greenwood, J. A., Landwehr, J. M., Matalas, N. C. and Wallis, J. R. (1979). Probability weighted moments: Definition and relation to parameters of several distributions expressible in inverse form, *Water Resources Research*, 15 (5), 1049-1054.
- 10- Hosking, J. R. M. (1986). The theory of probability weighted moments, *Res. Rep. RC 12210*, IBM Research Division, Yorktown Heights, NY.
- 11- Hosking, J. R. M. (1990). L-Moments: Analysis and estimation of distributions using linear combinations of order statistics, *Journal of Royal Statistical Society B*, 52, 105-124.
- 12- Hosking, J. R. M. and Wallis, J. R. (1991). Some statistics useful in regional frequency analysis, *Res. Rep. RC 17096*, IBM Research Division, Yorktown Heights, NY 10598.
- 13- Hosking, J. R. M. and Wallis, J. R. (1993). Some statistics useful in regional frequency analysis, *Water Resources Research*, 29(2), 271-281.
- 14- Hosking, J. R. M. and Wallis, J. R. (1997). Regional frequency analysis: An approach based on L-Moments, Cambridge University Press, New York, USA.
- 15- Hosking, J. R. M., Wallis, J. R. and Wood, E. F. (1985). Estimation of the Generalized Extreme-Value distribution by the method of probability-weighted moments, *Technometrics*, 27, 251-261.
- 16- Kumar, R. and Chatterjee, C. (2005). Regional flood frequency analysis using L-Moments for North Brahmaputra region of India, *Journal of Hydrologic Engineering*, 10, 1-7.
- 17- Lettenmaier, D. P. and Potter, K. W. (1985). Testing flood frequency estimation methods using a regional flood generation model, *Water Resources Research*, 21, 1903-1914.
- 18- Mosley, M. P. (1981). Delimitation of New Zealand hydrologic regions, *Journal of Hydrology*, 49, 173-192.
- 19- Riggs, H. C. (1973). Regional analysis of streamflow characteristics, In *Techniques of Water Resources Investigations of the US Geological Survey*. US Government Printing Office, Washington, DC.
- 20- Wallis, J. R., Lettenmaier, D. P. and Wood, E. F. (1991). A daily hydroclimatological data set for the continental United States, *Water Resources Research*, 27, 1657-1663
- Wallis, J. R., Matalas, N. C. and Slack, J. R. (1974). Just a moment!, *Water Resources Research*, 10(2), 211-219.



## Flood frequency analysis using Linear moment and flood index method in Khorasan provinces

H. Shamkoueyan<sup>1</sup> – B. Ghahraman<sup>2\*</sup> – K. Davary<sup>3</sup> – M. Sarmad<sup>4</sup>

### Abstract

Natural disasters threatening and endangering human communities has resulted in the study and research of such disasters through the related sciences and present methods of forecasting their behavior with time and place and also from a qualification and quantity viewpoint. To this end, numerous methods for the determination of the maximum flood in various return period has been made available which can be referred to as flood frequency analysis methods. One of these methods is the regional flood frequency analysis in which instead of using the data from a single station, it considers the data and characteristics of a group of similar stations. In the case under the research this method uses L-Moments and Index Flood in North, Razavi and South Khorasan water basins and MATLAB software. Maximum annual flood statistics were used from 68 Hydrometric stations with minimum and maximum statistical periods of 6 and 39 years. Using Cluster analysis the region under study was divided to 7 partitions. Discordance test has conducted and only one station in region C was found as discordance station. Because of knowing the homogeneity of the regions, the parameter of Kappa distribution were estimated and with using the simulation method of Monte Carlo with 500 times, the homogeneity measure was tested in 7 regions. Using homogeneity test all regions was found homogen. Using goodness-of-fit measure z and Kolmogrove-Smirnov the Log normal 3 parameters distribution were selected for two regions of A and B, GEV for C, Generalized Pareto for D and E, Generalized logistic for F and Pearson III for G. Besides, GEV distribution was found appropriate for all of the regions, only their parameters are different in any regions. For estimating of index flood a logarithmic model has found for each region with 4 variables of area, height, average slop and form factor. Using of these models, the index flood can be estimated in each region and it can be used for standardize the statistics of maximum flood values.

**Keywords:** Regional flood frequency analysis; L-Moments; Index Flood; Cluster analysis; Khorasan

1- Former Graduate Student of Irrigation and Drainage, Associate (\* - Corresponding author Email: bijangh@yahoo.com) and Assistant Professors of Irrigation, College of Agriculture and Assiatant Professor of Statistics, College of Mathematics and Statistics, Ferdowsi University of Mashhad.